

تقاضای تصادفی با ماهیت درون‌زا در مسئله مسیریابی وسایل نقلیه

فرناز هوشمند خلیق (دانشجوی دکتری)

سیدعلی میرحسینی* (دانشیار)

دانشکده‌ی ریاضی و علوم کامپیوتر، دانشگاه صنعتی امیرکبیر

مهندسی صنایع و مدیریت شریف، تابستان ۱۳۹۶
دروزی (۳۳-۱) شماره ۱/۲، ص. ۸۴-۷۷

برنامه‌ریزی تصادفی با عدم قطعیت درون‌زا مبحثی جدید است که در آن فرایند تصادفی مسئله تحت تأثیر تصمیمات قرار دارد. در این مقاله، توسعه‌ی نوینی از مسئله‌ی مسیریابی وسایل نقلیه به‌عنوان کاربردی جدید از این مبحث معرفی می‌شود که در آن، تقاضای هر مشتری غیرقطعی است و عدم قطعیت در لحظه‌ی ملاقات محقق می‌شود. لذا، زمان محقق شدن عدم قطعیت وابسته به تصمیمات و عدم قطعیت دارای ماهیت درون‌زاست. ابتدا یک مدل برنامه‌ریزی تصادفی چندمرحله‌یی با عدم قطعیت درون‌زا برای این مسئله ارائه می‌شود. سپس، از آنجا که قیود عدم ناهماهنگی به‌صورت شرطی هستند و درصد بالایی از کل قیود را تشکیل می‌دهند، چندین رویکرد کارا برای کاهش این قیود ارائه و اثبات می‌شود که تأثیر چشم‌گیری در کاهش اندازه‌ی مسئله و زمان حل خواهد داشت. نتایج محاسباتی عملکرد مدل پیشنهادی و روش‌های کاهش قیود را روی چند نمونه‌ی تصادفی نشان می‌دهند.

واژگان کلیدی: برنامه‌ریزی تصادفی چندمرحله‌یی، مسیریابی وسیله نقلیه، عدم قطعیت درون‌زا، درخت سناریوی وابسته به تصمیم، قیود عدم ناهماهنگی، شناسایی قیود زائد.

f.hooshmand.khaligh@aut.ac.ir
a_mirhassani@aut.ac.ir

۱. مقدمه

بازگشت، عدم قطعیت را به دو دسته می‌توان تقسیم کرد: برون‌زا^۱ و درون‌زا^۲. در مسئله‌یی با عدم قطعیت برون‌زا، تصمیمات هیچ تأثیری بر فرایند تصادفی مسئله ندارد؛ هر پارامتر غیرقطعی در یک زمان از قبل تعیین شده محقق می‌شود و مقدارش به تصمیمات وابسته نیست. به‌عنوان مثال، در برخی از مسائل مطرح شده^[۱] عدم قطعیت دارای ماهیت برون‌زاست. در مقابل، در یکی از مسائل با عدم قطعیت درون‌زا که محققین مطرح کردند^[۲] فرایند تصادفی مسئله تحت تأثیر تصمیمات است؛ به این صورت که ممکن است تصمیمات توزیع احتمال را تغییر دهند (نوع اول) یا روی زمان محقق شدن پارامترهای غیرقطعی تأثیر بگذارند (نوع دوم).

نوع دوم عدم قطعیت درون‌زا در زمینه‌های مختلف مانند حفاری چاه‌های نفت،^[۵] برنامه‌ریزی تولید،^[۶] و تولید دارو^[۷] مطرح شده و همواره یافتن زمینه‌های کاربردی جدید برای آن، مورد توجه محققین بوده است. در این مقاله، کاربرد جدیدی از نوع دوم عدم قطعیت درون‌زا در حوزه‌ی مسیریابی وسایل نقلیه (VRP)^۳ معرفی می‌شود.

مسئله‌ی مسیریابی وسایل نقلیه، یکی از مسائل معروف و چالش‌برانگیز در بهینه‌سازی است که در آن، به مشتریان از طریق ناوگانی از وسایل نقلیه سرویس داده می‌شود و تقاضای هر مشتری باید توسط یک وسیله‌ی نقلیه به‌طور کامل تأمین شود.^[۸] حالت خاصی از VRP که تقاضای مشتریان را غیرقطعی در نظر می‌گیرد،

در یک مسئله‌ی بهینه‌سازی قطعی، مقدار همه‌ی پارامترها معلوم فرض می‌شود؛ در حالی که در بسیاری از مسائل واقعی در زمینه‌های مختلف برنامه‌ریزی، زمان‌بندی، مکان‌یابی، حمل‌ونقل، سرمایه‌گذاری و غیره، پارامترهایی وجود دارند که مقدارشان در لحظه‌ی تصمیم‌گیری به‌طور قطع مشخص نیست. در چنین مسائلی لحاظ کردن عدم قطعیت در فرایند تصمیم‌گیری، ممکن است به جواب‌های استوارتری منجر شود و از این رو، لازم است به شیوه‌ی مناسبی عدم قطعیت در مدل وارد شود.

برحسب اطلاعاتی که ممکن است از پارامترهای غیرقطعی مسئله داشته باشیم، روش‌های مختلفی برای لحاظ کردن عدم قطعیت مطرح است که در این میان، می‌توان به روش برنامه‌ریزی تصادفی با بازگشت^۱ به‌عنوان یکی از روش‌های پرکاربرد اشاره کرد. در این روش، حالت‌های ممکن برای وقوع پارامترهای غیرقطعی با مجموعه‌یی از سناریوها نشان داده می‌شود و تصمیم‌گیرنده با دو یا چند مرحله‌ی تصمیم‌گیری مواجه است که در هر مرحله، مقدار برخی از پارامترهای غیرقطعی محقق می‌شود.^[۱۰]

با توجه به برخی از مطالعات انجام شده،^[۲] در مسائل برنامه‌ریزی تصادفی با

* نویسنده مسئول

تاریخ دریافت: ۱۳۹۳/۱۰/۲۴، اصلاحیه ۱۳۹۴/۲/۲۳، پذیرش ۱۳۹۴/۸/۱۲.

مورد توجه محققین زیادی قرار گرفته و کاربردهای متنوعی برای آن مطرح شده است؛ توزیع سوخت، جمع‌آوری زباله، جمع‌آوری نقدینگی شعب بانک‌ها و توزیع کالا به مناطق بحران‌زده^[۱۰،۱۱] از آن جمله‌اند.

در این مقاله بر VRP با یک وسیله‌ی نقلیه و با تقاضای تصادفی^۵ متمرکز می‌شویم و آن را اختصاراً SVRPD می‌نامیم. در این مسئله یک وسیله‌ی نقلیه با ظرفیت محدود، در انبار مستقر است و باید به مشتریان سرویس دهد. تقاضای هر مشتری غیرقطعی است و مقدار آن در لحظه‌ی ملاقات محقق می‌شود. به دلیل ظرفیت محدود وسیله‌ی نقلیه و عدم قطعیت در تقاضای مشتریان، ممکن است لازم باشد وسیله‌ی نقلیه در طول مسیرش برای بارگیری به انبار مراجعه کند. هدف آن است که ضمن تأمین تقاضای مشتریان، متوسط هزینه‌ی سفر کمینه شود.

در ادبیات، این مسئله از دو دیدگاه مورد بررسی قرار گرفته است: ایستا و پویا. در دیدگاه ایستا، مسیر قبل از محقق شدن عدم قطعیت به طور کامل تعیین می‌شود. سپس وسیله‌ی نقلیه با ظرفیت پُر انبار را ترک و مسیر مذکور را دنبال می‌کند، و هر جا در طول مسیر کالایش تمام شد برای بارگیری به انبار برمی‌گردد؛ سپس مسیر را از همان نقطه‌ی که نقصان رخ داده ادامه می‌دهد.^[۱۲،۱۳]

در دیدگاه پویا، هیچ مسیری از قبل تعیین نمی‌شود بلکه، مسیر وسیله‌ی نقلیه به تدریج و در طول چند مرحله ساخته می‌شود. به عبارت دیگر، تصمیم مرحله‌ی اول تعیین می‌کند کدام مشتری باید در مرحله‌ی اول ملاقات شود؛ پس از ملاقات تقاضای او معلوم می‌شود. سپس با توجه به اطلاعات محقق شده تصمیم مرحله‌ی دوم، مبنی بر این که «کدام مشتری باید در مرحله‌ی بعد ملاقات شود؟» و «آیا این مشتری باید مستقیماً یا بعد از بارگیری در انبار ملاقات شود»، گرفته می‌شود. پس از ملاقات او در باره‌ی انتخاب مشتری بعدی تصمیم‌گیری می‌شود و این روند تا زمانی که همه‌ی مشتریان ملاقات شوند ادامه دارد.

برخلاف دیدگاه ایستا، رویکرد پویا منجر به برنامه‌ی انعطاف‌پذیرتری می‌شود و در آن، امکان کاهش هزینه و بهبود جواب وجود دارد.^[۱۳] اما نکته‌ی مهم آن است که SVRPD با دیدگاه پویا NP-Hard است و از نظر محاسباتی، پیچیدگی‌های زیادی به همراه دارد. لذا، ادبیات موجود در این زمینه بسیار محدود است. از جنبه‌ی فرایند حل، تعدادی روش ابتکاری مطرح شده،^[۱۴-۱۸] و از جنبه‌ی مدل‌سازی، دو رویکرد برنامه‌ریزی پویا^[۱۹،۲۰] و برنامه‌ریزی تصادفی چندمرحله‌ی پویا ارائه شده است. با توجه به اطلاعات به دست آمده، فقط یکی از مطالعات^[۱۸] به فرمول‌بندی مسئله در قالب یک مدل برنامه‌ریزی تصادفی چندمرحله‌ی پرداخته که متأسفانه مدل مطرح شده در آن نیز صرفاً یک مدل مفهومی و تحلیلی است و قابل پیاده‌سازی و حل نیست. در این مقاله هدف آن است که با ارائه‌ی یک مدل برنامه‌ریزی تصادفی چندمرحله‌ی پویا برای مسئله SVRPD با رویکرد پویا، ضعف و کاستی فوق‌جبران‌شده شود. ارائه‌ی چنین مدلی به دو دلیل حائز اهمیت است. اولاً بینشی نسبت به ساختار و ویژگی‌های مسئله ایجاد می‌کند که می‌توان از آن در توسعه‌ی روش‌های حل کارآمد بهره جست. ثانیاً، جواب بهینه‌ی آن را می‌توان برای اعتبارسنجی الگوریتم‌های ابتکاری و غیردقیق به کار گرفت. نکته‌ی حائز اهمیت در فرمول‌بندی این مسئله آن است که تقاضای هر مشتری در لحظه‌ی ملاقات معلوم می‌شود و لذا زمان محقق شدن عدم قطعیت وابسته به تصمیمات و دارای ماهیت درون‌زاست. از این رو تعداد قیود عدم ناهماهنگی^۷ به شدت زیاد خواهد بود و رویکردهایی برای کاهش آنها لازم است. بنابراین، نوآوری‌های مهم این مقاله عبارت‌اند از: ۱. معرفی مسئله SVRPD با رویکرد پویا به عنوان کاربردی جدید از نوع دوم عدم قطعیت درون‌زا؛ ۲. فرمول‌بندی مسئله به صورت یک مدل برنامه‌ریزی تصادفی چندمرحله‌ی پویا تحت عدم قطعیت درون‌زا (با توجه به اطلاعات به دست آمده مدل پیشنهادی

اولین مدل قابل اجرا برای این دسته از مسائل است)؛ ۳. نشان دادن وابستگی درخت سناریو^۸ به تصمیمات و فرمول‌بندی مناسب قیود عدم ناهماهنگی؛ ۴. ارائه‌ی رویکردهای نوین برای شناسایی و حذف قیود عدم ناهماهنگی زائد و کاهش اندازه مدل.

این مقاله ابتدا به شرح جزئیات مسئله می‌پردازد، وابستگی درخت سناریو به تصمیمات را نشان می‌دهد و مسئله را به صورت یک مدل برنامه‌ریزی تصادفی چندمرحله‌ی پویا با عدم قطعیت درون‌زا فرمول‌بندی می‌کند. سپس، از آنجا که قیود عدم ناهماهنگی بخش قابل توجهی از قیود مسئله را تشکیل می‌دهند و حل آن را مشکل می‌کنند، رویکردهایی برای کاهش تعداد این قیود ارائه می‌شود. در قسمت نتایج محاسباتی، مدل و رویکردهای کاهش قیود روی چند نمونه‌ی تصادفی ارزیابی می‌شود.

۲. توصیف و فرمول‌بندی مسئله

۱.۲. شرح مسئله

فرض کنید $I = \{0, 1, 2, \dots, n_I\}$ مجموعه‌ی مکان‌ها، $i = 0, 1, 2, \dots, n_I$ به ترتیب بیان‌گر انبار و مشتریان و $c_{i,i'}$ هزینه‌ی سفر بین دو نقطه‌ی $i, i' \in I$ باشد. یک وسیله‌ی نقلیه با ظرفیت Q در انبار مستقر است و باید مشتریان را ملاقات کند. تقاضای هر مشتری تصادفی است و $S = \{1, 2, \dots, n_S\}$ مجموعه‌ی سناریوهاست که d_i^s تقاضای مشتری $i = 1, \dots, n_I$ تحت سناریوی $s \in S$ و p^s احتمال وقوع سناریوی s است. فرض بر این است که عدم قطعیت در تقاضای هر مشتری به محض ملاقات او محقق می‌شود و $d_i^s \leq Q$. به دلیل ظرفیت محدود وسیله‌ی نقلیه و عدم قطعیت در تقاضا، ممکن است لازم باشد که وسیله‌ی نقلیه در طول مسیر برای بارگیری به انبار مراجعه کند. اما از آنجا که تقاضای هر مشتری باید دقیقاً در یک بار ملاقات و به طور کامل برآورده شود، تصمیمات بارگیری باید به گونه‌ی اتخاذ شود که وقتی وسیله‌ی نقلیه به یک مشتری می‌رسد، حداقل به اندازه‌ی تقاضای او موجودی داشته باشد. به علاوه، وسیله‌ی نقلیه حداکثر R دفعه می‌تواند برای بارگیری به انبار مراجعه کند.

در این مسئله تصمیم‌گیری به صورت پویا انجام می‌شود؛ به این صورت که در مرحله‌ی اول که هنوز هیچ عدم قطعیتی محقق نشده، تصمیم می‌گیریم که کدام مشتری در وهله‌ی اول ملاقات شود. به محض این که وسیله‌ی نقلیه به این مشتری می‌رسد، مقدار تقاضای او معلوم می‌شود. سپس با توجه به اطلاعات به دست آمده، تصمیم مرحله‌ی دوم گرفته می‌شود مبنی بر این که «مشتری بعدی کدام است؟» و «آیا این مشتری باید مستقیماً یا پس از بارگیری در انبار ملاقات شود؟». بعد از ملاقات این مشتری، تقاضای او محقق می‌شود و به طور مشابه، تصمیمات مراحل بعدی به طور متوالی اتخاذ می‌شود تا زمانی که همه‌ی مشتریان ملاقات شوند و در این لحظه وسیله‌ی نقلیه به انبار بازمی‌گردد. هدف، کمینه‌کردن متوسط هزینه‌ی سفر است.

۲.۲. تعریف متغیرهای تصمیم

در این قسمت، پس از شرح مقدمات لازم، متغیرهای تصمیم معرفی می‌شود. از آنجا که بیشینه‌ی تعداد دفعات مجاز برای بارگیری R است، ابتدا R نقطه‌ی مجازی با برچسب $-R, -R-1, -R-2, \dots, -1$ ، به عنوان «کپی از انبار» ایجاد و مجموعه‌ی نقاط جدید با $J = \{-R, \dots, -1, 0, 1, \dots, n_I\}$ نشان داده می‌شود. هزینه‌ی

سفر بین نقاط متمایز $j, j' \in J$ چنین تعریف می‌شود:

$$f_{j,j'} = \begin{cases} 0 & j \leq 0, j' \leq 0 \\ c_{j,j'} & j \leq 0, 1 \leq j' \leq n_I \\ c_{j,0} & 1 \leq j \leq n_I, j' \leq 0 \\ c_{j,j'} & 1 \leq j \leq n_I, 1 \leq j' \leq n_I \end{cases} \quad (\forall j, j' \in J : j \neq j')$$

به علاوه، تحت هر سناریو، تقاضای انبار و نقاط مجازی برابر با $-Q$ قرار داده می‌شود که بیان‌گر بارگیری است. به عبارت دیگر، $d_j^s = -Q$ ($\forall s \in S, \forall j \in J$).
 یک مسیر شدنی متناظر با یک سناریوی خاص می‌تواند با یک دور همیلتونی که از هر نقطه‌ای $j \in J$ دقیقاً یک بار می‌گذرد، نظیر شود. به عنوان مثال، مسئله‌ی را با هشت مشتری در نظر بگیرید و فرض کنید حداکثر چهار دفعه بارگیری مجاز باشد؛ بنابراین، $J = \{0, -1, -2, \dots, -7, 1, 2, \dots, 8\}$. به علاوه، فرض کنید تحت یک سناریوی خاص، $(0, 3, 5, 1, 0, 2, 4, 6, 7, 8, 0)$ دنباله‌ی یک مسیر شدنی باشد. در این مسیر، وسیله نقلیه با بار کامل انبار را ترک و به ترتیب مشتریان ۳، ۵ و ۱ را ملاقات می‌کند. سپس برای بارگیری به انبار برمی‌گردد و در ادامه، به ترتیب مشتریان ۲، ۴، ۶، ۷ و ۸ را ملاقات می‌کند و سرانجام به انبار می‌رود. یک دور همیلتونی متناظر با این مسیر عبارت است از: $(0, 3, 5, 1, -1, 2, 4, 6, 7, 8, -2, -3, -4, 0)$. البته دورهای دیگری مانند $(0, 3, 5, 1, -3, -4, 2, 4, 6, 7, 8, -2, -1, 0)$ را نیز می‌توان با آن نظیر کرد. لذا بدون از دست رفتن کلیت و برای حذف دورهای همیلتونی معادل، قراردادهای زیر را بیان می‌کنیم:

قرارداد ۱. نقاط مجازی باید به ترتیب کاهش می‌شوند، یعنی برای هر جفت نقطه‌ی مجازی j و j' که $0 < j' < j$ ، باید j زودتر از j' ملاقات شود.
 قرارداد ۲. فرض کنید در جواب شدنی متناظر با یک سناریوی خاص، تنها n بارگیری لازم باشد و $n < R$. در این صورت لازم است در دور همیلتونی متناظرش، نقاط مجازی استفاده نشود. بلافاصله بعد از ملاقات آخرین مشتری و قبل از بازگشت به نقطه‌ی 0 ، j ، به‌طور متوالی ملاقات شوند.

در مثالی که بیان شد، از میان همه‌ی دورهای همیلتونی که می‌توانند با مسیر شدنی $(0, 3, 5, 1, 0, 2, 4, 6, 7, 8, 0)$ نظیر شوند، تنها دور همیلتونی $(0, 3, 5, 1, -1, 2, 4, 6, 7, 8, -2, -3, -4, 0)$ با قراردادهای ۱ و ۲ مطابقت دارد. هر دور همیلتونی از نقطه‌ی 0 شروع می‌شود، از هر مشتری و هر نقطه‌ی مجازی دقیقاً یک بار عبور می‌کند و به 0 ختم می‌شود. بنابراین، فرایند تصمیم‌گیری را می‌توان به $n_K = n_I + R + 1$ مرحله تقسیم کرد که در هر مرحله دقیقاً یکی از نقاط $j \in J$ برای ملاقات انتخاب می‌شود. مجموعه‌ی مراحل تصمیم‌گیری را با $K = \{1, 2, \dots, n_K\}$ نشان می‌دهیم. با توجه به مطالب فوق، متغیرهای تصمیم مسئله عبارت است از:

$\delta_{j,j',k}^s$: متغیر دودویی که اگر در k امین مرحله و تحت سناریوی s نقطه‌ی j' بلافاصله بعد از j ملاقات شود برابر ۱ و در غیر این صورت معادل صفر است؛
 y_k^s : متغیر پیوسته بیان‌گر میزان بار و وسیله نقلیه تحت سناریوی s پس از سرویس دهی به مشتری ملاقات شده در مرحله‌ی k ام.

۳.۲. کاهش تعداد متغیرهای دودویی

به‌سادگی می‌توان نشان داد که تعریف متغیر $\delta_{j,j',k}^s$ به‌ازای ترکیباتی از (j, j', k) که در ادامه فهرست شده‌اند، ضروری نیست و حذف $\delta_{j,j',k}^s$ به‌ازای چنین ترکیباتی منجر به کاهش قابل توجهی در تعداد متغیرهای مسئله می‌شود:

۱. متغیر $\delta_{j,j',k}^s$ به‌ازای $j' = j$ معنی‌دار نیست.

۲. خروج از نقطه‌ی 0 تنها در مرحله‌ی اول امکان‌پذیر است و لذا متغیر $\delta_{j,j',k}^s$ به‌ازای $k > 1$ معنی‌دار نیست. همچنین از آنجا که در مرحله‌ی اول حتماً باید یکی از مشتریان ملاقات شود، متغیر $\delta_{j,j',1}^s$ تنها به‌ازای $1 \leq j' \leq n_I$ معنی‌دار است.

۳. بازگشت به نقطه‌ی 0 تنها در مرحله‌ی آخر امکان‌پذیر است و لذا متغیر $\delta_{j,j',k}^s$ به‌ازای $k < n_K$ معنی‌دار نیست. همچنین از آنجا که در مرحله‌ی آخر وسیله نقلیه یا از یکی از مشتریان و یا از نقطه‌ی $-R$ به 0 می‌رود، متغیر $\delta_{j,j',k}^s$ تنها به‌ازای $j = -R$ و $1 \leq j' \leq n_I$ معنی‌دار است.

۴. اگر j و j' دو نقطه‌ی مجازی باشند، طبق قراردادهای ۱ و ۲، $\delta_{j,j',k}^s$ تنها به‌ازای $\{(j, j') \in \{(-r, -(r+1)) : r = 1, \dots, R-1\}\}$ معنی‌دار است. به علاوه، طبق قرارداد ۲، سفر مستقیم از نقطه‌ی مجازی $-r$ به نقطه‌ی مجازی $-(r+1)$ تنها به‌شرطی مجاز است که قبلاً همه‌ی مشتریان و نیز نقاط مجازی $j \geq -r$ ملاقات شده باشند (یعنی مرحله‌ی $k = n_I + r + 1$).

۵. با توجه به قراردادهای ۱ و ۲، زودترین زمانی که ممکن است نقطه‌ی مجازی $-r$ ملاقات شود، مرحله‌ی $2r$ است که متناظر با وضعیتی است که وسیله نقلیه پس از شروع سفر و تا قبل از ملاقات $-r$ ، هر بار که یک مشتری را ملاقات می‌کند، برای بارگیری به انبار بازمی‌گردد. همچنین دیرترین زمانی که ممکن است نقطه‌ی مجازی $-r$ ملاقات شود، مرحله‌ی $n_I + r$ است که متناظر با وضعیتی است که وسیله نقلیه قبل از ملاقات $-r$ ، همه‌ی مشتری‌ها و نیز همه‌ی نقاط مجازی قبل از $-r$ را ملاقات کرده است. بنابراین اگر j و $j' = -r$ به ترتیب بیان‌گر یک مشتری و یک نقطه‌ی مجازی باشند، $\delta_{j,j',k}^s$ فقط لازم است برای $2r \leq k \leq n_I + r$ نوشته شود.

۶. با استدلالی مشابه با مورد ۵، می‌توان نشان داد که اگر $j = -r$ و j' به ترتیب بیان‌گر یک نقطه‌ی مجازی و یک مشتری باشند، $\delta_{j,j',k}^s$ تنها برای $2r + 1 \leq k \leq n_I + r$ می‌تواند معنی‌دار باشد.

با توجه به موارد فوق، پارامتر دودویی $a_{j,j',k}$ معرفی می‌شود که ۱ است اگر و تنها اگر ترکیب (j, j', k) معنی‌دار باشد و متغیر $\delta_{j,j',k}^s$ تنها به‌ازای ترکیباتی که $a_{j,j',k}$ معادل ۱ باشد، تعریف می‌شود.

۴.۲. شرح محدودیت‌ها

فرمول‌بندی مسئله که آن را با RP نمایش می‌دهیم عبارت است از:

$$(RP) \quad \text{Min } z = \sum_{s \in S} p^s \sum_{j \in J} \sum_{j' \in J} \sum_{k \in K} f_{j,j'} \delta_{j,j',k}^s \quad (1)$$

$$\text{s.t.} \quad \sum_{j \in J} \delta_{j,j,1}^s = 1 \quad \forall s \in S \quad (2)$$

$$\sum_{j \in J} \delta_{j,j',n_K}^s = 1 \quad \forall s \in S \quad (3)$$

$$\sum_{k \in K} \sum_{j' \in J} \delta_{j,j',k}^s = 1 \quad \forall j \in J : j \neq 0, \forall s \in S \quad (4)$$

$$\sum_{k \in K} \sum_{j' \in J} \delta_{j,j',k}^s = 1 \quad \forall j \in J : j \neq 0, \forall s \in S \quad (5)$$

تشخیص داد که کدام یک از آن دو در آینده اتفاق می‌افتد؛ در غیر این صورت، دو سناریو تمایز پذیرند. قیود عدم ناهماهنگی تضمین می‌کنند که اگر دو سناریو در یک مرحله‌ی تصمیم‌گیری غیرقابل تمایزند، در آن مرحله تصمیمات مشابهی تحت آن دو سناریو اتخاذ شود. در مسائل تصادفی با عدم قطعیت برون‌زا، زمان محقق شدن هر پارامتر غیرقطعی از قبل معلوم است. از این رو، یک درخت سناریوی ثابت وجود دارد که قیود عدم ناهماهنگی به سادگی بر اساس آن نوشته می‌شود.^[۱] اما چون در مسئله RP تقاضای هر مشتری در لحظه‌ی ملاقات محقق می‌شود، زمان محقق شدن عدم قطعیت وابسته به تصمیمات است و عدم قطعیت از نوع درون‌زاست. در چنین مسئله‌ی درخت سناریو نیز به تصمیمات بستگی دارد و رعایت قیود عدم ناهماهنگی چالش‌برانگیز است.

برای نشان دادن وابستگی درخت سناریو به تصمیمات، مثالی را در نظر بگیرید که در آن وسیله‌ی نقلیه با ظرفیت 100 واحد باید سه مشتری را سرویس دهد؛ مراجعه به انبار برای بارگیری حداکثر یک بار مجاز است. هشت سناریو با احتمال مساوی امکان‌پذیر است و تقاضای مشتریان تحت هر سناریو در جدول ۱ آمده است. در این مثال، $J = \{-1, 0, 1, 2, 3\}$ و پنج مرحله‌ی تصمیم‌گیری وجود دارد.

اکنون دو سیاست تصمیم‌گیری شدنی را در نظر بگیرید. طبق اولین سیاست، در مرحله‌ی اول مشتری ۱ ملاقات می‌شود. اگر تقاضای او 40 بود، نقاط ۳ و ۲ و 0 و 1 به ترتیب ملاقات می‌شوند، اما اگر تقاضای او 50 یا 70 بود، در مرحله‌ی دوم، وسیله‌ی نقلیه برای بارگیری به انبار مجازی 1 می‌رود، سپس نقاط ۲ و ۳ و 0 را به ترتیب ملاقات می‌کند. طبق دومین سیاست، مشتری ۲ و ۳ به ترتیب در مرحله‌ی اول و دوم ملاقات می‌شوند. اگر تقاضای آنها به ترتیب 30 و 10 بود، مشتری ۱ و نقاط 1 و 0 به ترتیب ملاقات می‌شوند. در غیر این صورت، وسیله‌ی نقلیه برای بارگیری به انبار مجازی 1 می‌رود، سپس مشتری ۱ و نقطه‌ی صفر را به ترتیب ملاقات می‌کند. در شکل ۱ درخت سناریوی متناظر با هر یک از سیاست‌های فوق نشان داده شده و وابستگی درخت سناریو به تصمیمات تأیید شده است.

در این مسئله کافی است قیود عدم ناهماهنگی را فقط برای متغیرهای $\delta_{j,j',k}^s$ بنویسیم. از آنجا که در مرحله‌ی اول همه‌ی سناریوها غیرقابل تمایزند، قیود عدم ناهماهنگی برای تصمیمات مرحله‌ی اول عبارت است از:

$$\delta_{j,j',1}^s = \delta_{j,j',1}^{s'} \quad \forall s, s' \in S : s' = s + 1 \quad (16)$$

اما در مراحل $k > 1$ ، این که دو سناریو تمایز پذیرند یا خیر، از قبل معلوم نیست و به تصمیمات وابسته است. از این رو برای فرمول‌بندی قیود عدم ناهماهنگی، به‌ازای هر جفت سناریوی s و s' ، مجموعه‌ی $D(s, s')$ تعریف می‌شود که بیان‌گر مشتریانی است که تقاضایشان تحت سناریوهای s و s' متفاوت است.

$$D(s, s') = \left\{ j : j \in \{1, 2, \dots, n_I\}, d_j^s \neq d_j^{s'} \right\} \quad (17)$$

به‌وضوح، سناریوهای s و s' تا زمانی که هیچ‌یک از مشتریان مجموعه‌ی $D(s, s')$ ملاقات نشوند، غیرقابل تمایز خواهد بود. به‌عنوان مثال، با توجه به جدول ۱ سناریوهای ۴ و ۵ فقط در تقاضای مشتریان ۲ و ۳ متفاوت است و داریم: $D(4, 5) = \{2, 3\}$.

جدول ۱. تقاضای مشتریان تحت سناریوهای مختلف.

سناریو	۱	۲	۳	۴	۵	۶	۷	۸
d_1^s	۷۰	۷۰	۷۰	۵۰	۵۰	۵۰	۴۰	۴۰
d_2^s	۵۰	۵۰	۵۰	۵۰	۴۰	۳۰	۴۰	۳۰
d_3^s	۴۰	۲۰	۱۰	۴۰	۲۰	۴۰	۲۰	۱۰

$$\sum_{j' \in J} \delta_{j',j,k}^s = \sum_{j' \in J} \delta_{j',j',k+1}^s \quad \forall j \in J : j \neq 0, \quad \forall k \in K : k < n_K, \quad \forall s \in S \quad (6)$$

$$\sum_{k \in K : k \geq 2} k \sum_{j' \in J} \delta_{j',j',k}^s - \sum_{k \in K} k \sum_{j' \in J} \delta_{j',j,k}^s = 1 \quad \forall j \in J : j \neq 0, \quad \forall s \in S \quad (7)$$

$$\sum_{j \in J} \sum_{k \in K} k \delta_{j,j',k}^s \leq \sum_{j \in J} \sum_{k \in K} k \delta_{j,j'-1,k}^s \quad \forall j' \in J : -R < j' < 0, \quad \forall s \in S \quad (8)$$

$$y_1^s = Q - \sum_{j \in J} d_{j,1}^s \delta_{j,1}^s \quad \forall s \in S \quad (9)$$

$$y_k^s \leq y_{k-1}^s - \sum_{j \in J} \sum_{j' \in J} d_{j',j,k}^s \delta_{j',j,k}^s \quad \forall k \in K : k > 1, \quad \forall s \in S \quad (10)$$

$$y_k^s \leq Q \quad \forall k \in K : k > 1, \quad \forall s \in S \quad (11)$$

$$y_k^s \geq Q \sum_{j \in J} \sum_{j' \in J : j' \leq 0} \delta_{j',j',k}^s \quad \forall k \in K : k > 1, \quad \forall s \in S \quad (12)$$

$$\delta_{j,j',k}^s \in \{0, 1\} \quad \forall j, j' \in J, \quad \forall k \in K : a_{j,j',k} = 1, \quad \forall s \in S \quad (13)$$

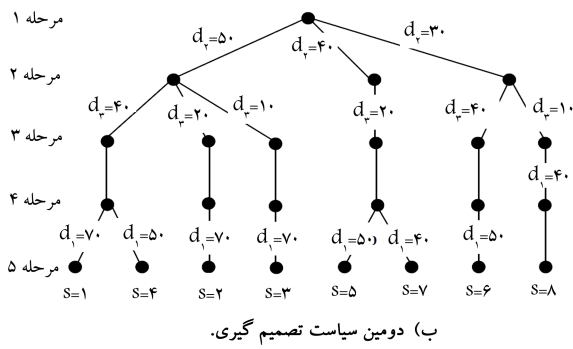
$$y_k^s \geq 0 \quad \forall k \in K, \quad \forall s \in S \quad (14)$$

$$\text{قیود عدم ناهماهنگی} \quad (15)$$

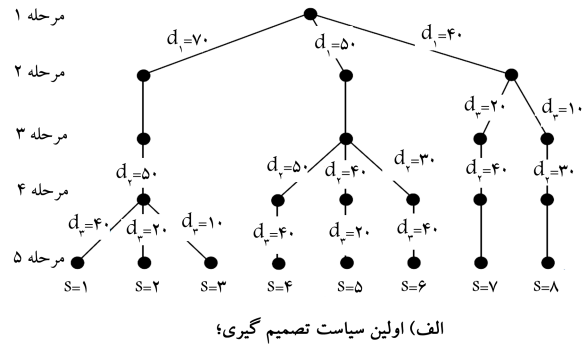
تابع هدف، متوسط هزینه‌ی سفر را کمیته می‌کند. محدودیت‌های ۲ و ۳ به ترتیب تضمین می‌کنند که تحت هر سناریو، وسیله‌ی نقلیه در مرحله‌ی اول از نقطه‌ی $0 = j$ خارج و در مرحله‌ی آخر به آن وارد شود. محدودیت‌های ۴ و ۵ تضمین می‌کنند که تحت هر سناریو، وسیله‌ی نقلیه دقیقاً یک بار به هر نقطه وارد و دقیقاً یک بار از آن نقطه خارج شود. محدودیت ۶ سبب می‌شود که تحت هر سناریو اگر وسیله‌ی نقلیه در مرحله‌ی k به نقطه‌ی k وارد شد، در مرحله‌ی $k+1$ از آن خارج شود و بالعکس. این مفهوم با قید ۷ نیز تضمین می‌شود؛ اما دلیل استفاده از هر دو قید، بهبود کران آزادسازی خطی مسئله است. توجه داشته باشید که محدودیت‌های ۱ تا ۶ از تشکیل زیرتور^۴ جلوگیری، و تضمین می‌کنند که تحت هر سناریو یک دور همپلتونی ایجاد شود. محدودیت ۸ رعایت قرارداد ۱ را تضمین می‌کند. لازم به ذکر است به دلیل آن که در قسمت ۳.۲ دامنه‌ی اندیس متغیر به $\delta_{j,j',k}^s$ محدود شد، قرارداد ۲ در هر جواب شدنی مدل پیشنهادی به‌طور خود به خود رعایت می‌شود. محدودیت‌های ۹ تا ۱۲ مقدار بار وسیله‌ی نقلیه را پس از اتمام سرویس‌دهی در مرحله‌ی k تعیین می‌کند. محدودیت‌های ۱۰ و ۱۴ تضمین می‌کنند که تحت هر سناریو، هنگام ملاقات یک مشتری، مقدار بار وسیله‌ی نقلیه حداقل به اندازه‌ی تقاضای او باشد. محدودیت‌های ۱۱ و ۱۲ سبب می‌شوند که وسیله‌ی نقلیه هنگام ملاقات انبارهای مجازی به‌طور کامل بارگیری کند. البته قرارداد قید ۱۲ ضروری نیست و برای بهبود کران آزادسازی خطی مسئله در نظر گرفته شده است. محدودیت‌های ۱۳ و ۱۴ نوع متغیرها را تعیین می‌کند و محدودیت ۱۵ نمایشی نمادین از قیود عدم ناهماهنگی است که در قسمت بعد، به‌طور کامل شرح داده خواهد شد.

۵.۲. قیود عدم ناهماهنگی

در یک مرحله‌ی تصمیم‌گیری دو سناریو غیرقابل تمایز نامیده می‌شوند اگر با توجه به عدم قطعیتی که تا آن مرحله محقق شده، تاریخچه‌ی یکسانی داشته باشند و توان



شکل ۱.۱. وابستگی درخت سناریو به اولین و دومین سیاست تصمیم‌گیری.



شکل ۱.۲. اولین سیاست تصمیم‌گیری؛

شکل ۱.۱. وابستگی درخت سناریو به اولین و دومین سیاست تصمیم‌گیری.

۱۵ در RP به دست می‌آید:

(RP')

$$\text{Min } z = \sum_{s \in S} p^s \sum_{j \in J} \sum_{j' \in J} \sum_{k \in K} f_{j,j',k} \delta_{j,j',k}^s$$

$$\text{s.t. } (2) - (14), (16), (19), (20)$$

۳. کاهش در قیود عدم ناهماهنگی

قیود عدم ناهماهنگی ۱۹ و ۲۰ به‌ازای هر جفت سناریو نوشته شده است و درصد بالایی از قیود RP' را تشکیل می‌دهد و حل آن را مشکل می‌کند. اما خوشبختانه تعداد زیادی از این قیود زائدند و حذف آنها تأثیر قابل توجهی در کاهش اندازهی مدل خواهد داشت. در این قسمت، رویکردهایی برای شناسایی این قیود زائد ارائه می‌کنیم و نشان می‌دهیم با حذف محدودیت ۲۰ و بازنویسی محدودیت ۱۹ به‌ازای یک زیرمجموعه‌ی مشخص از جفت سناریوها می‌توان به مدلی معادل با RP' اما با اندازهی کوچک‌تر دست یافت و بهبود قابل توجهی در زمان حل ایجاد کرد.

گزاره ۲. در RP' ، قید ۲۰ زائد است و می‌تواند حذف شود.

اثبات: فرض کنید بردار $(\hat{\delta}, \hat{y})$ در قیود ۲-۱۴، ۱۶، ۱۹ صدق کند. کافی است نشان دهیم $\hat{\delta}$ در محدودیت ۲۰ نیز صدق می‌کند. بدین منظور، دو سناریوی دلخواه $s_1 < s'_1$ و مرحله‌ی دلخواه $k_1 \leq k_{s_1, s'_1}$ را در نظر بگیرید. برای سه‌تایی (s_1, s'_1, k_1) یکی از دو حالت زیر امکان‌پذیر است:

$$\text{حالت اول: } \sum_{k' \in K: k' < k_1} \sum_{j \in J} \sum_{j' \in D(s_1, s'_1)} \hat{\delta}_{j,j',k'}^{s_1} \geq 1$$

در این حالت، بدیهی است که $\hat{\delta}$ به‌ازای سه‌تایی (s_1, s'_1, k_1) و به‌ازای هر $j''' \in J$ ، در قید ۲۰ صدق می‌کند و حکم برقرار است.

$$\text{حالت دوم: } \sum_{k' \in K: k' < k_1} \sum_{j \in J} \sum_{j' \in D(s_1, s'_1)} \hat{\delta}_{j,j',k'}^{s_1} = 0$$

در این حالت، طبق قید ۱۹ داریم:

$$\sum_{j''' \in J} \hat{\delta}_{j''',j''',k_1}^{s_1} - \sum_{j''' \in J} \hat{\delta}_{j''',j''',k_1}^{s'_1} \leq 0 \quad \forall j''' \in J$$

و لذا، به‌ازای هر $j''' \in J$ ، برای $\hat{\delta}$ سه وضعیت ممکن است:

$$\text{وضعیت ۱. } \sum_{j''' \in J} \hat{\delta}_{j''',j''',k_1}^{s_1} = 0, \quad \sum_{j''' \in J} \hat{\delta}_{j''',j''',k_1}^{s'_1} = 0$$

$$\text{وضعیت ۲. } \sum_{j''' \in J} \hat{\delta}_{j''',j''',k_1}^{s_1} = 1, \quad \sum_{j''' \in J} \hat{\delta}_{j''',j''',k_1}^{s'_1} = 1$$

در اولین سیاست تصمیم‌گیری، تحت سناریوهای ۴ و ۵ هیچ‌یک از مشتریان ۲ و ۳ قبل از مرحله‌ی سوم ملاقات نشده‌اند، و از این رو این دو سناریو در مراحل $k \leq 3$ غیرقابل تمایزند (شکل ۱الف). در حالی که در دومین سیاست تصمیم‌گیری چون مشتری ۲ در اولین مرحله ملاقات شده، سناریوهای ۴ و ۵ از مرحله‌ی دوم به بعد متمایز شده‌اند (شکل ۱ب).

بنابراین، دو سناریوی s و s' در k امین مرحله‌ی تصمیم‌گیری غیرقابل تمایزند اگر و تنها اگر هیچ‌یک از مشتریان $j' \in D(s, s')$ در مراحل $k' < k$ ملاقات نشده باشند. لذا گزاره ۱ برقرار است.

گزاره ۱. در مدل RP ، عدم ناهماهنگی میان تصمیمات مراحل $k > 1$ را می‌توان از طریق قید شرطی ۱۸ تضمین کرد که در آن $1 + \text{Min}(2n_{s,s'}, n_{s,s'} + R) \leq k_{s,s'}$ و $n_{s,s'}$ تعداد مشتریانی است که تقاضایشان تحت سناریوهای s و s' مشابه است.

$$\sum_{k' \in K: k' < k} \sum_{j \in J} \sum_{j' \in D(s, s')} \delta_{j,j',k'}^s = 0 \Rightarrow \left(\forall j''' \in J \sum_{j'' \in J} \delta_{j''',j''',k}^s = \sum_{j'' \in J} \delta_{j''',j''',k}^{s'} \right) \quad \forall s, s' \in S: s < s', \quad \forall k: 1 < k \leq k_{s,s'} \quad (18)$$

اثبات: با توجه به تعریف مجموعه‌ی $D(s, s')$ به سادگی می‌توان نتیجه گرفت که قید ۱۸ تضمین می‌کند اگر هیچ‌یک از مشتریان $j' \in D(s, s')$ در مراحل $k' < k$ ملاقات نشده‌اند، در مرحله‌ی k ام و تحت s و s' ، نقطه‌ی یکسانی ملاقات شود.^[۳] ضمناً با استدلالی ساده می‌توان نشان داد که $k_{s,s'}$ یک کران بالا روی تعداد مراحل است که سناریوهای s و s' می‌توانند غیرقابل تمایز بمانند. □

محدودیت ۱۸ با محدودیت‌های خطی ۱۹ و ۲۰ معادل است.

$$\sum_{j'' \in J} \delta_{j''',j''',k}^s - \sum_{j'' \in J} \delta_{j''',j''',k}^{s'} \leq \sum_{k' \in K: k' < k} \sum_{j \in J} \sum_{j' \in D(s, s')} \delta_{j,j',k'}^s \quad \forall s, s' \in S: s < s', \quad \forall k: 1 < k \leq k_{s,s'}, \quad \forall j''' \in J \quad (19)$$

$$\sum_{j'' \in J} \delta_{j''',j''',k}^{s'} - \sum_{j'' \in J} \delta_{j''',j''',k}^s \leq \sum_{k' \in K: k' < k} \sum_{j \in J} \sum_{j' \in D(s, s')} \delta_{j,j',k'}^s \quad \forall s, s' \in S: s < s', \quad \forall k: 1 < k \leq k_{s,s'}, \quad \forall j''' \in J \quad (20)$$

بدین ترتیب، مدل RP' از جایگزینی قیود ۱۶، ۱۹ و ۲۰ به جای محدودیت نمادین

محدودیت ۱۹ تنها به‌ازای جفت سناریوهای $(s, s') \in A^*$ نوشته می‌شود. برای اثبات معادل بودن دو مدل، کافی است نشان دهیم هر جواب شدنی برای $RP'R_2$ برای $RP'R_1$ نیز شدنی است. بدین منظور، فرض کنید بردار $(\hat{\delta}, \hat{y})$ یک جواب شدنی برای $RP'R_2$ باشد. باید نشان دهیم این جواب به‌ازای هر $s, s' \in S$ که $s < s'$ ، در محدودیت ۱۹ صدق می‌کند و از این رو برای $RP'R_1$ نیز شدنی است. بدین منظور، جفت سناریوی دلخواه (\tilde{s}, \tilde{s}') را در نظر می‌گیریم $(\tilde{s} < \tilde{s}')$ و نشان می‌دهیم $(\hat{\delta}, \hat{y})$ در محدودیت ۱۹ به‌ازای (\tilde{s}, \tilde{s}') صدق می‌کند. اگر $(\tilde{s}, \tilde{s}') \in A^*$ به وضوح حکم برقرار است. پس فرض کنید $(\tilde{s}, \tilde{s}') \notin A^*$. با توجه به روند الگوریتم ۱، در G^* مسیر $\tilde{s} = s_0, s_1, \dots, s_M = \tilde{s}'$ وجود دارد به‌طوری‌که به‌ازای هر $m = 1, \dots, M$ ، $D(s_{m-1}, s_m) \subseteq D(\tilde{s}, \tilde{s}')$ ، لذا $k_{\tilde{s}, \tilde{s}'} \leq k_{s_{m-1}, s_m}$ چون $(s_{m-1}, s_m) \in A^*$ ، پس در مدل $RP'R_2$ محدودیت ۱۹ به‌ازای (s_{m-1}, s_m) نوشته شده‌اند و داریم:

$$\sum_{k' \in K: k' < k} \sum_{j \in J} \sum_{j' \in D(s_{m-1}, s_m)} \hat{\delta}_{j, j', k'}^{s_{m-1}} = 0 \Rightarrow$$

$$\left(\forall j''' \in J \sum_{j'' \in J} \hat{\delta}_{j'', j''', k}^{s_{m-1}} = \sum_{j'' \in J} \hat{\delta}_{j'', j''', k}^{s_m} \right)$$

$$\forall m = 1, 2, \dots, M, \quad \forall k: 1 < k \leq k_{\tilde{s}, \tilde{s}'} \quad (21)$$

اکنون ادعا می‌کنیم:

$$\sum_{k' \in K: k' < k} \sum_{j \in J} \sum_{j' \in D(\tilde{s}, \tilde{s}')} \hat{\delta}_{j, j', k'}^{\tilde{s}} = 0 \Rightarrow$$

$$\sum_{k' \in K: k' < k} \sum_{j \in J} \sum_{j' \in D(s_{m-1}, s_m)} \hat{\delta}_{j, j', k'}^{s_{m-1}} = 0$$

$$\forall m = 1, 2, \dots, M, \quad \forall k: 1 < k \leq k_{\tilde{s}, \tilde{s}'} \quad (22)$$

با توجه به روابط ۲۱ و ۲۲ داریم:

$$\sum_{k' \in K: k' < k} \sum_{j \in J} \sum_{j' \in D(\tilde{s}, \tilde{s}')} \hat{\delta}_{j, j', k'}^{\tilde{s}} = 0 \Rightarrow$$

$$\left(\forall j''' \in J \sum_{j'' \in J} \hat{\delta}_{j'', j''', k}^{s_0} = \sum_{j'' \in J} \hat{\delta}_{j'', j''', k}^{s_1} = \dots = \sum_{j'' \in J} \hat{\delta}_{j'', j''', k}^{s_M} \right)$$

$$\forall k: 1 < k \leq k_{\tilde{s}, \tilde{s}'} \quad (23)$$

و لذا بردار $(\hat{\delta}, \hat{y})$ به‌ازای (\tilde{s}, \tilde{s}') در محدودیت ۱۹ صدق می‌کند و حکم برقرار است.

اکنون تنها لازم است رابطه ۲۲ ثابت شود. به‌دلیل قید ۱۶، این رابطه به‌ازای $k = 2$ بدیهی است. پس حالت $k \leq k_{\tilde{s}, \tilde{s}'}$ را در نظر می‌گیریم و فرض می‌کنیم $\sum_{k' \in K: k' < k} \sum_{j \in J} \sum_{j' \in D(\tilde{s}, \tilde{s}')} \hat{\delta}_{j, j', k'}^{\tilde{s}} = 0$. از آنجا که $D(\tilde{s}, s_1) \subseteq D(\tilde{s}, \tilde{s}')$ نتیجه می‌شود:

$$\sum_{k' \in K: k' < k} \sum_{j \in J} \sum_{j' \in D(\tilde{s}, s_1)} \hat{\delta}_{j, j', k'}^{\tilde{s}} = 0 \quad (24)$$

با توجه به اینکه $(\tilde{s}, s_1) \in A^*$ ، در مدل $RP'R_1$ محدودیت ۱۹ به‌ازای (\tilde{s}, s_1)

$$\sum_{j''' \in J} \hat{\delta}_{j''', j''', k_1}^{s_1} = 0, \quad \sum_{j''' \in J} \hat{\delta}_{j''', j''', k_1}^{s_1'} = 1$$

ادعا می‌کنیم وضعیت ۳ هرگز نمی‌تواند رخ دهد. از طرف دیگر مغایرتی بین وضعیت ۱ و ۲ و قید ۲۰ وجود ندارد. لذا $\hat{\delta}$ به‌ازای سه‌تایی (s_1, s_1', k_1) و به‌ازای هر $j''' \in J$ در قید ۲۰ صدق می‌کند و اثبات تمام است. اکنون، تنها لازم است ادعای مطرح شده را ثابت کنیم. مطابق برهان خلف، فرض کنید وضعیت ۳ به‌ازای نقطه‌یی مانند j_1 رخ دهد که بیان می‌دارد در k_1 آمین مرحله، نقطه‌ی j_1 تحت سناریوی s_1' ملاقات می‌شود، اما تحت s_1 ملاقات نمی‌شود. اما چون تحت هر سناریو و در هر مرحله دقیقاً یک نقطه باید ملاقات شود، پس نقطه‌ی j_2 ($j_2 \neq j_1$) وجود دارد به‌طوری‌که در k_1 آمین مرحله تحت سناریوی s_1 ملاقات می‌شود، اما تحت s_1' ملاقات نمی‌شود یعنی: $\sum_{j''' \in J} \hat{\delta}_{j''', j_2, k_1}^{s_1} = 1$ و $\sum_{j''' \in J} \hat{\delta}_{j''', j_2, k_1}^{s_1'} = 0$ این روابط محدودیت ۱۹ را برای سه‌تایی (s_1, s_1', k_1) و برای $j_2 = j_2'''$ نقض می‌کنند. از این رو فرض خلف باطل است. \square

اکنون، فرض کنید $RP'R_1$ مدل کاهش یافته‌یی باشد که با اعمال گزاره‌ی ۲ و حذف محدودیت ۲۰ از RP' به دست آمده است. در $RP'R_1$ ، محدودیت ۱۹ به‌ازای هر جفت سناریو نوشته شده و درصد بالایی از کل قیود را تشکیل می‌دهد؛ اما خوشبختانه این قیود به‌ازای تعداد زیادی از جفت سناریوها زائدند. بدین منظور، الگوریتم ۱ را ارائه می‌کنیم که قادر است ترکیبات زائد (s, s') را شناسایی و کاهش چشم‌گیری در تعداد محدودیت ۱۹ ایجاد کند. در واقع خروجی این الگوریتم، گراف بدون جهت $G^* = (S, A^*)$ است که هر رأس آن با یک سناریو متناظر است. نشان می‌دهیم در مدل $RP'R_1$ تنها لازم است محدودیت ۱۹ برای جفت سناریوهای (s, s') که کمان نظیر آنها در A^* وجود دارد، نوشته شود.

۱.۳. الگوریتم ۱

گام اول: به‌ازای هر $L = 1, \dots, n_I$ ، مجموعه‌ی A^L را مجموعه‌ی همه‌ی جفت سناریوهای تعریف کنید که در تقاضای دقیقاً L مشتری متفاوت‌اند.

$$A^L = \{(s, s') : s, s' \in S, s < s', |D(s, s')| = L\}$$

$$\forall L = 1, 2, \dots, n_I$$

قرار دهید $\{A^* = \{s, s'\} : s, s' \in S, s < s', |D(s, s')| = L\}$ را تشکیل دهید و به گام دوم بروید.

گام دوم: تا وقتی که $L \leq n_I$ ، مراحل ذیل را انجام دهید:

اگر $A^L \neq \emptyset$ ، به‌دلخواه جفت سناریوی $(s, s') \in A^L$ را انتخاب و از A^L حذف کنید. سپس بررسی کنید که آیا درگراف G^* مسیری بین s و s' وجود دارد به‌طوری‌که به‌ازای هر کمان (s'', s''') روی آن، رابطه‌ی $D(s'', s''') \subseteq D(s, s')$ برقرار باشد؟ اگر چنین مسیری وجود ندارد، کمان جدید (s, s') را به G^* اضافه کنید و قرار دهید $A^* = A^* \cup \{(s, s')\}$. در غیر این صورت، قرار دهید $L := L + 1$.

گزاره‌ی ۳. فرض کنید گراف بدون جهت $G^* = (S, A^*)$ از الگوریتم ۱ به دست آمده باشد. اگر در مدل $RP'R_1$ ، محدودیت عدم ناهماهنگی ۱۹ فقط به‌ازای جفت سناریوهای $(s, s') \in A^*$ نوشته شود، مدل کاهش یافته‌یی معادل با $RP'R_1$ به دست می‌آید.

اثبات: مدل $RP'R_2$ را مشابه $RP'R_1$ تعریف کنید؛ با این تفاوت که در $RP'R_2$

جدول ۲. ارزیابی مدل‌های پیشنهادی.

نمونه	n_S	n_I	مدل	تعداد متغیرها	تعداد قیود (۲)-(۱۴) و (۱۶)	مقدار بهین	تعداد قیود عدم ناهم‌انگهی	نسبت (%)	اختلاف نسبی کران خطی (%)	زمان حل (ثانیه)
۱	۵	۱۰	RP^1	۱۶۳۱	۸۰۶	۲۵,۴۵	۷۸۴	۵۰	-	۴,۲۴
			$RP^1 R_1$						۰,۰۰	۲,۸۶
			$RP^1 R_2$				۴۰۶	۲۶	۰,۰۰	۱,۷۳
۲	۵	۱۵	RP^1	۲۴۴۶	۱۲۱۱	۲۸,۶۸	۲۰۳۰	۵۰	-	۲۰,۱۹
			$RP^1 R_1$						۰,۰۰	۱۴,۲۷
			$RP^1 R_2$				۸۱۹	۲۰	۰,۰۰	۹,۶۱
۳	۷	۱۰	RP^1	۴۰۹۱	۱۲۲۴	۲۶,۴۷	۱۵۸۴	۵۰	-	۴۸۱,۲۶
			$RP^1 R_1$						۰,۰۰	۳۷۸,۴۰
			$RP^1 R_2$				۱۰۹۸	۳۵	۰,۰۰	۲۲۲,۰۵
۴	۷	۱۵	RP^1	۶۱۳۶	۱۸۳۹	۲۷,۰۵	۳۰۳۳	۵۰	-	۱۳۶۷,۴۹
			$RP^1 R_1$						۰,۰۰	۹۵۷,۱۸
			$RP^1 R_2$				۱۶۶۵	۲۷	۰,۰۰	۹۳۰,۴۲
۵	۱۰	۱۰	RP^1	۱۱۲۳۱	۲۰۰۱	۳۰,۹۷	۲۴۰۰	۵۰	-	۵۲۱۷,۱۱
			$RP^1 R_1$						۰,۰۰	۳۰۸۹,۰۷
			$RP^1 R_2$				۱۶۲۰	۳۴	۰,۰۰	۹۵۸,۹۱
۶	۱۰	۱۵	RP^1	۱۶۸۴۶	۳۰۰۶	۳۰,۴۲	۱۱۱۶۰	۵۰	-	*
			$RP^1 R_1$						۰,۰۰	*
			$RP^1 R_2$				۳۶۶۰	۳۳	۰,۰۰	۵۰۳۹,۰۷

نوشته شده‌اند و بنابراین رابطه‌ی ۲۴ داریم:

$$\left(\forall j''' \in J \sum_{j'' \in J} \hat{\delta}_{j'', j''', k''}^s = \sum_{j'' \in J} \hat{\delta}_{j'', j''', k''}^s \right) \quad \forall k'' : k'' \leq k \quad (25)$$

با توجه به ۲۴ و ۲۵ نتیجه می‌شود $\sum_{k' \in K: k' < k} \sum_{j \in J} \sum_{j' \in D(\bar{s}, \bar{s}')} \hat{\delta}_{j, j', k'}^s = 0$ با استدلالی مشابه می‌توان نتیجه گرفت که به ازای هر $m = 2, \dots, M$ داریم:

$$\left(\forall j''' \in J \sum_{j'' \in J} \hat{\delta}_{j'', j''', k''}^{s_{m-1}} = \sum_{j'' \in J} \hat{\delta}_{j'', j''', k''}^{s_m} \right) \quad \forall k'' : k'' \leq k \quad (26)$$

از روابط ۲۵ و ۲۶ نتیجه می‌شود:

$$\sum_{j'' \in J} \hat{\delta}_{j'', j''', k''}^s = \sum_{j'' \in J} \hat{\delta}_{j'', j''', k''}^{s_m} \quad \forall m = 1, \dots, M, \quad \forall j''' \in J, \quad \forall k'' : k'' \leq k \quad (27)$$

و لذا، رابطه‌ی ۲۲ برقرار است. □

چنان که پیش‌تر نیز گفته شد، مدل کاهش یافته‌ی که بعد از اعمال گزاره‌ی ۲ روی RP^1 به دست می‌آید را با $RP^1 R_1$ و مدلی که بعد از اعمال گزاره‌های ۲ و ۳ به دست می‌آید، با $RP^1 R_2$ نشان می‌دهیم. در ادامه مدل‌های $RP^1 R_1$ ، RP^1 و $RP^1 R_2$ از نظر محاسباتی ارزیابی می‌شوند.

۴. نتایج محاسباتی

در این قسمت، مدل‌های RP^1 ، $RP^1 R_1$ و $RP^1 R_2$ روی چند نمونه تصادفی که مشخصات آنها در جدول ۲ آمده ارزیابی می‌شود (در همه‌ی نمونه‌ها، پارامتر R برابر با ۱ قرار داده شده است). مدل‌ها در نرم‌افزار بهینه‌سازی AIMMS پیاده‌سازی و با CPLEX حل شد. [۱۹] از آنجا که مدل‌های RP^1 ، $RP^1 R_1$ و $RP^1 R_2$ تنها در قیود متضمن عدم ناهم‌انگهی برای مراحل $k > 1$ متفاوت‌اند، تعداد متغیرها و تعداد قیود ۲-۱۴ و ۱۶ و نیز مقدار بهین تابع هدف که به ترتیب در ستون‌های ۵ الی ۷ از جدول ۲ گزارش شده‌اند، برای آنها مشابه است. به علاوه برای هر مدل، تعداد قیود عدم ناهم‌انگهی (برای مراحل $k > 1$) در ستون ۸ آمده است. برای نمایش تأثیر رویکردهای پیشنهادی در کاهش تعداد قیود عدم ناهم‌انگهی، ستون «نسبت» در نظر گرفته شده است که هر درایه‌ی آن، بیان‌گر نسبت «تعداد قیود عدم ناهم‌انگهی در مدل مربوطه» به «تعداد قیود عدم ناهم‌انگهی در مدل RP^1 » است. به عنوان مثال، در نمونه‌ی ۱، مقدار ۲۶٪ در مقابل مدل $RP^1 R_2$ بیان می‌دارد که نسبت تعداد قیود عدم ناهم‌انگهی در $RP^1 R_2$ به تعداد آنها در RP^1 ، ۰/۲۶ است. به علاوه، هر درایه‌ی ستون «اختلاف نسبی کران خطی» بیان‌گر اختلاف نسبی کران آزادسازی خطی مدل نظیرش به کران آزادسازی خطی RP^1 است. زمان حل هر یک از مدل‌ها در ستون آخر گزارش شده و علامت * بیان می‌دارد که فرایند حل پس از گذشت ۱۰۸۰۰ ثانیه پایان نیافته است. با توجه به جدول ۲ گزاره‌های ۲ و ۳ تأثیر قابل توجهی در کاهش تعداد قیود عدم ناهم‌انگهی و بهبود زمان حل دارند. ضمناً کران آزادسازی خطی هر سه مدل یکسان است، به عبارت دیگر، حفظ قیود

عدم ناهماهنگی زائد در مدل، منجر به بهبود کران آزادسازی خطی مسئله نمی‌شود. در واقع، حذف این قیود نه تنها تأثیر منفی روی کران آزادسازی خطی مسئله ندارد، بلکه اندازه‌ی مسئله و زمان حل را نیز به شدت کاهش می‌دهد. بنابراین، از نظر محاسباتی مدل $RP'R_2$ به دو مدل دیگر ترجیح داده می‌شود.

۵. نتیجه‌گیری

در این مقاله، مسئله‌ی مسیریابی وسیله‌ی نقلیه با فرض عدم قطعیت در تقاضای مشتریان و با دیدگاه پویا به عنوان کاربرد جدید از برنامه‌ریزی تصادفی تحت عدم

قطعیت درون‌زا معرفی و فرمول‌بندی شد. سپس به دلیل آن که در این مسئله قیود عدم ناهماهنگی وابسته به تصمیمات‌اند و درصد بالایی از کل قیود را تشکیل می‌دهند، رویکردهای کارآمدی ارائه و اثبات شد که تأثیر چشم‌گیری در کاهش تعداد این قیود و بهبود اندازه‌ی مدل دارند. با توجه به اطلاعات ما، مدل پیشنهادی، اولین مدل برنامه‌ریزی تصادفی چندمرحله‌ی است که برای این دسته از مسائل ارائه شده است و اهمیت آن به سبب بینشی است که نسبت به ویژگی‌ها و ساختار مسئله ایجاد می‌کند؛ می‌توان از آن در توسعه‌ی روش‌های حل کارآمد بهره برد.

از آنجا که مسئله‌ی مذکور NP-Hard است، نرم‌افزارهای حل قادر نیستند نمونه‌های بزرگ آن را در زمان مناسب حل کنند. از این رو، ارائه‌ی روش حل کارآمد مبتنی بر ساختار مدل به عنوان کارآتی پیشنهاد می‌شود.

پانوشته‌ها

1. stochastic programming with recourse
2. exogenous uncertainty
3. endogenous uncertainty
4. vehicle routing problem
5. single vehicle routing problem with stochastic demands
6. dynamic programming
7. nonanticipativity constraints
8. scenario tree
9. sub-tour

منابع (References)

1. Birge, J.R. and Louveaux, F., *Introduction to Stochastic Programming*, Springer (2011).
2. Sahinidis, N.V. "Optimization under uncertainty: State-of-the-art and opportunities", *Computers and Chemical Engineering*, **28**, pp. 971-983 (2004).
3. Goel, V. and Grossmann, I.E. "A class of stochastic programs with decision dependent uncertainty", *Mathematical Programming, Ser. B*, **108**(2-3), pp. 355-394 (2006).
4. Pflug, G.C. "On-line optimization of simulated markovian processes", *Mathematics of Operations Research*, **15**(3), pp. 381-395 (1990).
5. Goel, V. and Grossmann, I.E. "A stochastic programming approach to planning of offshore gas field developments under uncertainty in reserves", *Computers and Chemical Engineering*, **28**, pp. 1409-1429 (2004).
6. Gupta V. and Grossmann, I.E. "Solution strategies for multistage stochastic programming with endogenous uncertainties", *Computers and Chemical Engineering*, **35**(11), pp. 2235-2247 (2011).
7. Colvin, M. and Maravelias, C.T. "A stochastic programming approach for clinical trial planning in new drug development", *Computers and Chemical Engineering*, **32**(11), pp. 2626-2642 (2008).
8. Laporte, G., "Fifty years of vehicle routing", *Transportation Science*, **43**, pp.408-416 (2009).
9. Gendreau, M. Laporte, G. and Seguin, R. "Invited review: Stochastic vehicle routing", *European Journal of Operational Research*, **88**(1), pp. 3-12 (1996).
10. Nova, C. and Storer, R. "An approximate dynamic programming approach for the vehicle routing problem with stochastic demands", *European Journal of Operational Research*, **196**(2), pp. 509-515 (2009).
11. Rei, W., Gendreau, M. and Soriano, P. "A hybrid monte carlo local branching algorithm for the single vehicle routing problem with stochastic demands", *Transportation Science*, **44**(1), pp. 136-146 (2010).
12. Marinakis, Y., Iordanidou, G.R. and Marinaki, M. "Particle swarm optimization for the vehicle routing problem with stochastic demand", *Applied Soft Computing*, **13**(4), pp. 1693-1704 (2013).
13. Pillac, V., Gendreau, M., Guéret, C. and Medaglia, A.L. "A review of dynamic vehicle routing problems", *European Journal of Operational Research*, **225**(1), pp. 1-11 (2013).
14. Secomandi, N. "Comparing neuro-dynamic programming algorithms for the vehicle routing problem with stochastic demands", *Computers and Operations Research*, **27**(11-12), pp. 1201-1225 (2000).
15. Secomandi, N. "A rollout policy for the vehicle routing problem with stochastic demands", *Operations Research*, **49**(5), pp. 796-802 (2001).
16. Secomandi, N. "Analysis of a rollout approach to sequencing problems with stochastic routing applications", *Journal of Heuristics*, **9**(4), pp. 321-352 (2003).
17. Secomandi, N. and Margot, F. "Reoptimization approaches for the vehicle-routing problem with stochastic demands", *Operations Research*, **57**(1), pp. 214-230 (2009).
18. Dror, M. "Modeling vehicle routing with uncertain demands as a stochastic program: Properties of the corresponding solution", *European Journal of Operational Research*, **64**(3), pp. 432-441 (1993).
19. Bisschop, J., *AIMMS-Optimization Modeling*, Paragon Decision Technology, Harlem, 305 p. (2012). <http://www.aimms.com>